

Starkniederschlagshöhen und -spenden gemäß KOSTRA-DWD-2020

Rasterfeld 191112

(Zeile 191, Spalte 112)

Regenspende und Bemessungsniederschlagswerte in Abhängigkeit von Wiederkehrzeit T und Dauerstufe D

| Dauerstufe D | | Wiederkehrzeit T | | | | | | | | | | | | | | | | | |
|--------------|-----|------------------|------------|------|------------|------|------------|------|------------|-------|------------|-------|------------|-------|------------|-------|------------|-------|------------|
| | | 1 a | | 2 a | | 3 a | | 5 a | | 10 a | | 20 a | | 30 a | | 50 a | | 100 a | |
| min | Std | mm | l / (s ha) | mm | l / (s ha) | mm | l / (s ha) | mm | l / (s ha) | mm | l / (s ha) | mm | l / (s ha) | mm | l / (s ha) | mm | l / (s ha) | mm | l / (s ha) |
| 5 | | 9,3 | 310,0 | 11,3 | 376,7 | 12,6 | 420,0 | 14,2 | 473,3 | 16,6 | 553,3 | 19,0 | 633,3 | 20,6 | 686,7 | 22,7 | 756,7 | 25,7 | 856,7 |
| 10 | | 11,3 | 188,3 | 13,8 | 230,0 | 15,3 | 255,0 | 17,4 | 290,0 | 20,3 | 338,3 | 23,3 | 388,3 | 25,2 | 420,0 | 27,8 | 463,3 | 31,5 | 525,0 |
| 15 | | 12,6 | 140,0 | 15,4 | 171,1 | 17,1 | 190,0 | 19,3 | 214,4 | 22,6 | 251,1 | 25,9 | 287,8 | 28,1 | 312,2 | 31,0 | 344,4 | 35,1 | 390,0 |
| 20 | | 13,6 | 113,3 | 16,6 | 138,3 | 18,4 | 153,3 | 20,8 | 173,3 | 24,3 | 202,5 | 27,9 | 232,5 | 30,3 | 252,5 | 33,4 | 278,3 | 37,8 | 315,0 |
| 30 | | 15,1 | 83,9 | 18,4 | 102,2 | 20,4 | 113,3 | 23,1 | 128,3 | 27,0 | 150,0 | 31,0 | 172,2 | 33,6 | 186,7 | 37,0 | 205,6 | 41,9 | 232,8 |
| 45 | | 16,7 | 61,9 | 20,3 | 75,2 | 22,6 | 83,7 | 25,5 | 94,4 | 29,8 | 110,4 | 34,2 | 126,7 | 37,1 | 137,4 | 40,9 | 151,5 | 46,3 | 171,5 |
| 60 | 1 | 17,9 | 49,7 | 21,8 | 60,6 | 24,2 | 67,2 | 27,4 | 76,1 | 32,0 | 88,9 | 36,7 | 101,9 | 39,8 | 110,6 | 43,9 | 121,9 | 49,7 | 138,1 |
| 90 | 1,5 | 19,7 | 36,5 | 24,1 | 44,6 | 26,7 | 49,4 | 30,3 | 56,1 | 35,3 | 65,4 | 40,5 | 75,0 | 44,0 | 81,5 | 48,4 | 89,6 | 54,9 | 101,7 |
| 120 | 2 | 21,2 | 29,4 | 25,8 | 35,8 | 28,7 | 39,9 | 32,4 | 45,0 | 37,9 | 52,6 | 43,5 | 60,4 | 47,1 | 65,4 | 51,9 | 72,1 | 58,8 | 81,7 |
| 180 | 3 | 23,3 | 21,6 | 28,5 | 26,4 | 31,6 | 29,3 | 35,8 | 33,1 | 41,8 | 38,7 | 47,9 | 44,4 | 52,0 | 48,1 | 57,3 | 53,1 | 64,9 | 60,1 |
| 240 | 4 | 25,0 | 17,4 | 30,5 | 21,2 | 33,9 | 23,5 | 38,3 | 26,6 | 44,7 | 31,0 | 51,4 | 35,7 | 55,7 | 38,7 | 61,4 | 42,6 | 69,5 | 48,3 |
| 360 | 6 | 27,6 | 12,8 | 33,6 | 15,6 | 37,3 | 17,3 | 42,2 | 19,5 | 49,3 | 22,8 | 56,6 | 26,2 | 61,4 | 28,4 | 67,6 | 31,3 | 76,6 | 35,5 |
| 540 | 9 | 30,4 | 9,4 | 37,0 | 11,4 | 41,1 | 12,7 | 46,5 | 14,4 | 54,3 | 16,8 | 62,3 | 19,2 | 67,6 | 20,9 | 74,5 | 23,0 | 84,4 | 26,0 |
| 720 | 12 | 32,5 | 7,5 | 39,6 | 9,2 | 44,0 | 10,2 | 49,8 | 11,5 | 58,2 | 13,5 | 66,8 | 15,5 | 72,4 | 16,8 | 79,8 | 18,5 | 90,4 | 20,9 |
| 1080 | 18 | 35,8 | 5,5 | 43,7 | 6,7 | 48,5 | 7,5 | 54,9 | 8,5 | 64,1 | 9,9 | 73,6 | 11,4 | 79,8 | 12,3 | 87,9 | 13,6 | 99,5 | 15,4 |
| 1440 | 24 | 38,4 | 4,4 | 46,8 | 5,4 | 52,0 | 6,0 | 58,8 | 6,8 | 68,6 | 7,9 | 78,8 | 9,1 | 85,4 | 9,9 | 94,1 | 10,9 | 106,6 | 12,3 |
| 2880 | 48 | 45,3 | 2,6 | 55,2 | 3,2 | 61,3 | 3,5 | 69,4 | 4,0 | 81,0 | 4,7 | 92,9 | 5,4 | 100,8 | 5,8 | 111,0 | 6,4 | 125,8 | 7,3 |
| 4320 | 72 | 49,9 | 1,9 | 60,8 | 2,3 | 67,5 | 2,6 | 76,4 | 2,9 | 89,2 | 3,4 | 102,4 | 4,0 | 111,0 | 4,3 | 122,3 | 4,7 | 138,5 | 5,3 |
| 5760 | 96 | 53,4 | 1,5 | 65,1 | 1,9 | 72,3 | 2,1 | 81,8 | 2,4 | 95,5 | 2,8 | 109,6 | 3,2 | 118,9 | 3,4 | 131,0 | 3,8 | 148,4 | 4,3 |
| 7200 | 120 | 56,3 | 1,3 | 68,6 | 1,6 | 76,3 | 1,8 | 86,3 | 2,0 | 100,7 | 2,3 | 115,6 | 2,7 | 125,4 | 2,9 | 138,1 | 3,2 | 156,5 | 3,6 |
| 8640 | 144 | 58,8 | 1,1 | 71,7 | 1,4 | 79,6 | 1,5 | 90,1 | 1,7 | 105,2 | 2,0 | 120,7 | 2,3 | 130,9 | 2,5 | 144,3 | 2,8 | 163,4 | 3,2 |
| 10080 | 168 | 61,0 | 1,0 | 74,4 | 1,2 | 82,6 | 1,4 | 93,5 | 1,5 | 109,1 | 1,8 | 125,3 | 2,1 | 135,8 | 2,2 | 149,7 | 2,5 | 169,5 | 2,8 |

Starkniederschlagshöhen und -spenden gemäß KOSTRA-DWD-2020

Rasterfeld 191112

(Zeile 191, Spalte 112)

Örtliche Unsicherheiten in Abhängigkeit von Wiederkehrzeit T und Dauerstufe D

| Dauerstufe D | | Wiederkehrzeit T | | | | | | | | |
|--------------|-----|------------------|-----|-----|-----|------|------|------|------|-------|
| | | 1 a | 2 a | 3 a | 5 a | 10 a | 20 a | 30 a | 50 a | 100 a |
| min | Std | ± % | ± % | ± % | ± % | ± % | ± % | ± % | ± % | ± % |
| 5 | | 16 | 17 | 18 | 19 | 19 | 20 | 20 | 20 | 21 |
| 10 | | 19 | 21 | 22 | 22 | 23 | 24 | 24 | 25 | 25 |
| 15 | | 21 | 22 | 23 | 24 | 25 | 26 | 26 | 26 | 27 |
| 20 | | 21 | 23 | 24 | 25 | 26 | 26 | 27 | 27 | 28 |
| 30 | | 22 | 23 | 24 | 25 | 26 | 27 | 27 | 28 | 28 |
| 45 | | 21 | 23 | 24 | 25 | 26 | 27 | 27 | 27 | 28 |
| 60 | 1 | 21 | 23 | 24 | 24 | 25 | 26 | 27 | 27 | 28 |
| 90 | 1,5 | 20 | 22 | 23 | 23 | 24 | 25 | 25 | 26 | 26 |
| 120 | 2 | 19 | 21 | 22 | 22 | 23 | 24 | 25 | 25 | 26 |
| 180 | 3 | 18 | 20 | 20 | 21 | 22 | 23 | 23 | 24 | 24 |
| 240 | 4 | 17 | 19 | 20 | 20 | 21 | 22 | 22 | 23 | 23 |
| 360 | 6 | 16 | 18 | 18 | 19 | 20 | 21 | 21 | 21 | 22 |
| 540 | 9 | 16 | 17 | 17 | 18 | 19 | 20 | 20 | 20 | 21 |
| 720 | 12 | 15 | 16 | 17 | 18 | 18 | 19 | 19 | 20 | 20 |
| 1080 | 18 | 15 | 16 | 16 | 17 | 18 | 18 | 19 | 19 | 19 |
| 1440 | 24 | 15 | 16 | 16 | 17 | 17 | 18 | 18 | 19 | 19 |
| 2880 | 48 | 17 | 17 | 17 | 17 | 18 | 18 | 18 | 18 | 19 |
| 4320 | 72 | 18 | 18 | 18 | 18 | 18 | 18 | 19 | 19 | 19 |
| 5760 | 96 | 19 | 19 | 19 | 19 | 19 | 19 | 19 | 19 | 19 |
| 7200 | 120 | 20 | 20 | 20 | 20 | 20 | 20 | 20 | 20 | 20 |
| 8640 | 144 | 21 | 21 | 21 | 20 | 20 | 20 | 20 | 20 | 21 |
| 10080 | 168 | 22 | 21 | 21 | 21 | 21 | 21 | 21 | 21 | 21 |

Parameter für abweichende T und D

Lokationsparameter ξ (Xi)

18,01788887

Skalenparameter α (Alpha)

5,48067929

Formparameter κ (Kappa)

-0,1

1. Koutsoyiannis-Parameter θ (Theta)

0,00831129

2. Koutsoyiannis-Parameter η (Eta)

0,7618456

Parameter für dauerstufenübergreifende Extremwertschätzung nach KOUTSOYIANNIS et al. 1998.

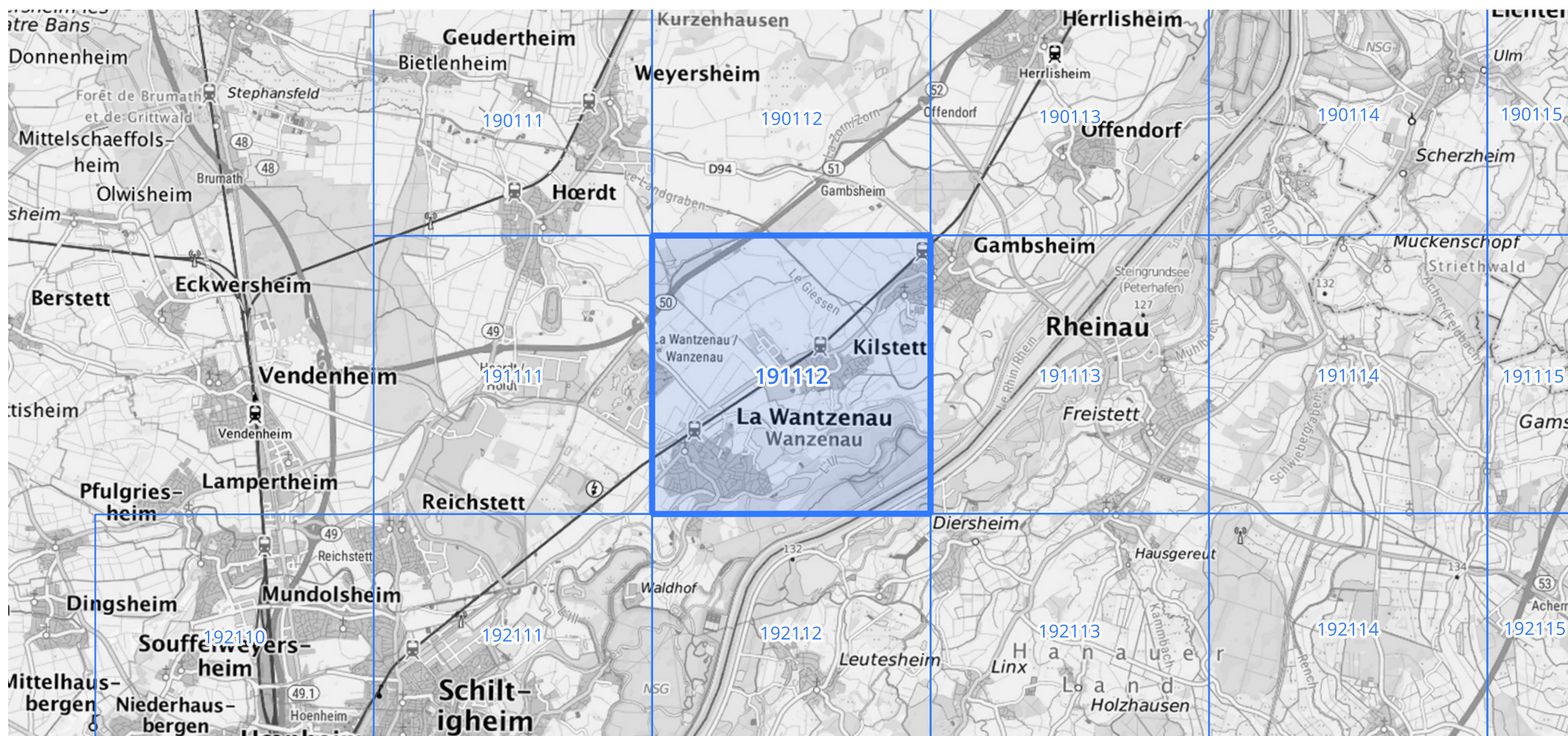
Siehe auch Anwendungshilfe zu KOSTRA-DWD-2020 des Deutschen Wetterdienstes.

Starkniederschlagshöhen und -spenden gemäß KOSTRA-DWD-2020

Rasterfeld 191112

(Zeile 191, Spalte 112)

Übersichtskarte des Rasterfeldes 191112, M 1 : 100 000



Quelle Rasterdaten: KOSTRA-DWD-2020 des Deutschen Wetterdienstes, Stand 12/2022.

Seite 3 von 3

Kartendarstellung: © Bundesamt für Kartographie und Geodäsie (2023), Datenquellen: https://sgx.geodatenzentrum.de/web_public/gdz/datenquellen/Datenquellen_TopPlusOpen.html

Für die Richtigkeit und Aktualität der Angaben wird keine Gewähr übernommen. Erstellt 01/2023.